

О возможности нарушения принципа Кюри-Неймана в анизотропных средах с диссимметрией

O. A. Скалдин^{*+1)}, Ю. И. Тимиров*

* Институт физики молекул и кристаллов УНЦ РАН, 450075 Уфа, Россия

+ Уфимский государственный авиационно-технический университет, 450000 Уфа, Россия

Поступила в редакцию 20 июля 2009 г.

После переработки 7 октября 2009 г.

Методом двойного лучепреломления исследована динамика дефектов, их взаимное превращение и аннигиляция в каплях нематохолестерической смеси при действии квазистатических электрических полей. Выше порогового поля образуются три основные и независимые конфигурации распределения директора: статическое, динамические с правой и левой закруткой холестерических слоев вокруг оси, параллельной полю. Обсуждаются возможные механизмы наблюдаемых процессов. Показывается, что явная симметрия причин (НХЖК и поля) не влечет однозначно за собой соответствующую симметрию индуцируемых структур и механических процессов. Установлено также, что имеет место анизотропное распределение в ориентации вращающихся спиральных структур относительно нормали НХЖК слоя.

PACS: 61.30.-v

Физика образования и динамика дефектов упорядоченности структурных элементов традиционно является одной из наиболее актуальных областей физики конденсированного состояния. В первую очередь это связано с определяющим влиянием и ролью дефектов в различного рода процессах (фазовые превращения, переход к хаосу и т.п.). Особенно интересно и важно становится, когда среды, в которых реализуются эти процессы, являются физически многофункциональными благодаря многообразию их свойств, например, жидкие кристаллы (ЖК). Последние являются собой уникальные модельные системы, в которых реализуются аналоги типа текстур ${}^3\text{He}-\text{A}$ в сфере [1]. Сфера или капля – трехмерный контейнер, в котором могут образовываться как сингулярные, так и несингулярные структурные особенности, например, ежи, буджумы, монополи и солитоны, доменные стенки и дисклинации [2, 3]. Первые исследования капель показали большое разнообразие наблюдаемых структур различной симметрии как статического, так и динамического типа [4, 5]. Одним из них является эффект Лемана [6], развивающийся в поле градиента температур. Наличие проводимости расширяет возможности наблюдения и изучения неустойчивостей и структурных превращений в электрическом поле с образованием объемных и поверхностных дефектов [7]. Учет же ориентации и энергии сцепления молекул, к примеру, нематохолестерила на границе раздела фаз, приводит к тому, что поле индуцирует

непрерывный каскад ориентационных переходов [8–10]. Интерес представляют и работы по исследованию топологических структур и ориентационных переходов в ЖК каплях, заключенных в полимерную матрицу [11, 12] или в отдельные полимерные капсулы [13]. В нематохолестерических каплях также возможна ситуация, когда соотношение периода холестерической закрутки P и радиуса капель R влияет на характер образования периодических структур. В частности, в [14] показывается, что при $P > R$ наблюдаются стационарные двухзаходные спиральные структуры с закруткой, соответствующей хиральности допанта. Таким образом, за редким исключением, изучаются в основном стационарные системы и ориентационные конфигурации. Существует, однако, и другая не менее важная причина, определяющая актуальность данных исследований. Это вопросы симметрии зарождающихся неравновесных структур и их связь с симметрией причин, воздействия и свойств среды. Подобные проблемы носят глобальный характер, а именно, нарушение симметрии правого и левого как в микромире – области элементарных частиц [15], так и в мегамире – анизотропия распределения правых и левых галактик в пространстве [16]. В настоящей работе исследуется динамика топология дефектов, а также анализируется симметрия зарождающихся структур в каплях нематохолестерических жидких кристаллов (НХЖК) в окрестности точки просветления в постоянных или квазистатических электрических полях в ситуации, когда

¹⁾ e-mail: scala@anrb.ru

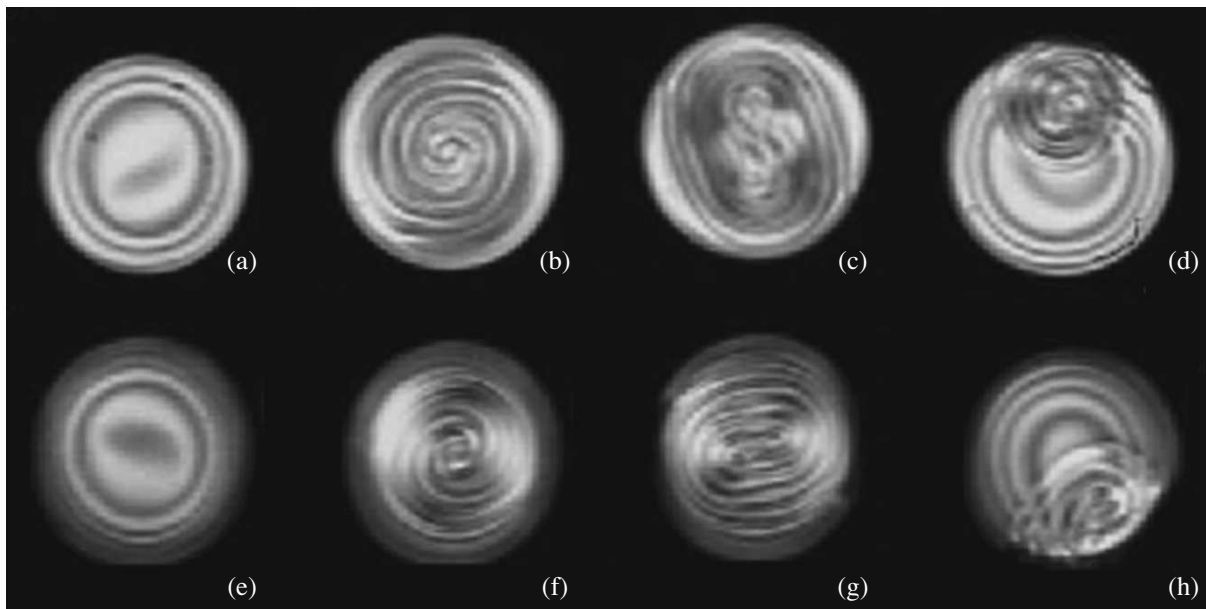


Рис.1. Динамика текстур капель с левой (а)–(д) и правой (е)–(г) закрученной двухзаходных спиралей от зарождения до аннигиляции поверхностных дефектов – полного цикла ($\times 300$)

ориентация директора НХЖК от слоя к слою имела строго выделенное направление и не зависела внутри капли от ее геометрии. В этом случае на поверхности или в центре капли не должны возникать точечные дефекты, но на ее поверхности возможно формирование систем стенок Кано-Гранжана (КГ), изображение которых в микроскопе должно наблюдаться в виде колец, соосных с направлением волнового вектора НХЖК (рис.1а,е).

В качестве изучаемой среды была выбрана смесь НХЖК, приготовленная на основе 4-*n*-метоксибензилиден-*n*-бутиланилина (нематический ЖК МББА), и холестерилхлорида (холестерический ЖК) в массовом соотношении 1 : 0.028 с диэлектрической анизотропией $\epsilon_\alpha < 0$. НХЖК помещался в ЖК ячейку между двумя стеклянными подложками с проводящими ИТО (оксид индия и олово) покрытиями, имеющими натертый полиимидный слой на поверхности для создания планарных граничных условий. Толщина ЖК слоя составляла $d = 40$ мкм, горизонтальные размеры ячейки составляли 15×22 мм. Электрическое поле прикладывалось нормально к слою НХЖК, а его частота $f \geq 10$ Гц. Все измерения проводились в окрестности температуры перехода нематик-изотропная фаза с использованием термостолика HCS-250 (Instec, USA) с температурной стабилизацией $\pm 0.010^\circ\text{C}$. Система капель формировалась следующим образом. Ячейка перегревалась до полного перехода НХЖК в изотропную фазу, а потом медленно с разной скоростью охлаждалась до их

образования, после чего температура стабилизировалась. Таким образом, система капель находилась во взвешенном состоянии в изотропной фазе. Размер капель, изученных в данной работе, был $R \leq 40$ мкм, что лимитировало толщиной слоя ЖК. Период закрутки холестерической спирали для данного НХЖК соответствовал $P \simeq 8$ мкм. Для изучения динамики переориентации молекул в каплях НХЖК ниже применен метод двойного лучепреломления, который был реализован на основе поляризационного микроскопа AxioLab (Zeiss, Germany), а изображение капель регистрировалось камерой VX44 (PCO Inc., Germany) с разрешением 720×576 пикселей и оцифровывалось внешней платой Pinnacle 700-USB (USA).

Следует отметить, что, как и предсказывалось, в каплях формируются и четко определяются линии КГ [17], которые обусловлены присутствием в смеси холестерического допанта и отвечают за оптическую картину капель. Оптическое вращение плоскости поляризации в центральных зонах КГ – левое, хотя на самом деле молекулы холестерического допанта-холестерилхлорида обладают правой хиральностью. В данном случае этот эффект является следствием особенности взаимодействия молекул нематической матрицы, именно МББА, с хиральным допантом и наблюдается при небольших концентрациях холестерилхлорида [18], который исчезает, давая правое вращение, как это и положено, при молярных концентрациях более 50%.

Рассмотрим структурные превращения в этих каплях приложенном внешнем поле E . Здесь выше порога ориентационной неустойчивости, величина которого U_n не зависит от частоты приложенного поля, реализуются три возможных варианта: бездефектная переориентация молекул в слоях и образование статической конической спирали; генерация стенок инверсии в ориентации молекул от центрального слоя НХЖК. В таких структурах с течением времени вдоль координаты Z грани цилиндров, образованные линиями КГ, поворачиваются (ось Z перпендикулярна слою ЖК), образуя спиральную структуру в плоскости образца.

Причем, поворот может быть как левым, так и правым (рис.1). Первый случай связан, как было указано выше, с наличием в каплях надмолекулярной левовинтовой спиральной структуры и при распространении деформации по оси Z ведет к левому вращению возникающих от центра капли радиальных дисклинационных линий (оси цилиндров, рис.1a) с топологическим зарядом $s = +2$, которые при их выходе на поверхность склоняются, образуя χ^+ (или χ^-) дефект. Этот дефект вращается, генерируя ориентационные моменты, формирующие в первой зоне КГ двухзаходные спирали, которые постепенно приводят к ее разрыву и вытесняют остальные зоны КГ к поверхности капли (рис.1b), и в конце концов заполняют весь объем капли (рис.1c). В момент разрыва первой зоны КГ возникают два дефекта τ^- и τ^+ или λ^- и λ^+ , которые выталкиваются на поверхность капли и располагаются по периметру. Одновременно с их выталкиванием χ^+ (или χ^-) дефект распадается на два дефекта τ^- и τ^+ или λ^- и λ^+ . С течением времени вновь образовавшиеся дефекты, отталкиваясь друг от друга, вытесняются на поверхность и анигилируют с дефектами, имеющимися на поверхности (рис.1c,d), что завершает данный цикл превращений. При этом ориентация молекул в слоях переходит в исходное состояние с образованием стенок КГ, и цикл повторяется вновь.

Особо отметим процесс уничтожения остальных стенок КГ: он идет именно путем их выталкивания на поверхность, а не разрыва. При выталкивании постепенно их толщина уменьшается, и они захлопываются на поверхности, при склонении энергия каждого m -го кольца КГ изменяется на величину энергии закрутки спирали на 2π , таким образом, при выталкивании m -го кольца энергия закрутки уменьшается на $mK_{22}q_0^2$, ($m-1$)-го – $(m-1)K_{22}q_0^2$ и т.д. Генерация вращающихся НХЖК спиралей имеет отдаленный аналог эффекта Лемана [4, 6], но здесь природа их образования иная. Аналогичен процесс

и в правовращающейся спирали (рис.1e-h). Однако здесь следует подчеркнуть, что явная симметрия причин (симметрия НХЖК и поля) не влечет за собой однозначно симметрию вызываемых ими действий, то есть симметрия НХЖК $\infty/2$, переменного электрического поля $m \cdot \infty/m$, а симметрия спиральных структур $2/m$. Причем относительное число правозаходных спиральных структур больше. В связи с этим была поставлена задача определения функции распределения вероятности появления левых и правых спиралей от скорости охлаждения и перехода изотропной жидкости в состояние системы взвешенных капель в изотропном расплаве, так как сам переход в реальном случае является квазиравновесным, что соответствует малым скоростям охлаждения. На рис.2 представлены зависимости процентного соотношения

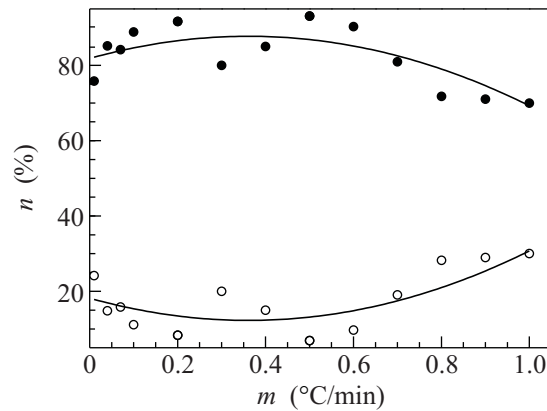


Рис.2. Распределение в процентном отношении образования капель с правыми (○) и левыми (●) спиральными структурами в зависимости от скорости охлаждения слоя НХЖК и перехода через точку просветления ($E = \text{const}$)

появления правых и левых спиральных структур от скорости перехода через точку просветления (были исследованы от 150 до 200 капель для каждого значения скорости охлаждения). Следует также отметить, что при относительно больших скоростях перехода – порядка одного градуса в минуту – доля левозаходных спиралей начинает расти и составлять приблизительно 1 к 2.

Теперь обсудим причины образования левовинтовых и правовинтовых спиральных структур с точки зрения феноменологической теории возникновения конической деформации ЖК в полях развитой Лесли [19], с учетом того, что критическое поле $E_c \sim \sim K_{33}q_0^2$ при $q_0 > 2\pi/R$. Последнее соответствует реальному случаю, так как $q_0 \approx 8 \text{ мкм}$. Отсюда, следуя монографии Чандрасекхара [20], уравнения состояния НХЖК допускают решения типа $n_x \approx \cos q_0 z$,

$n_y \approx \sin q_0 z$, $n_z \approx \theta \cos q_0 z$, где q_0 – волновой вектор исходного геликоида, $\theta \sim \pm f(z) \exp(\pm \alpha |x| + \omega t)$, θ – угол директора с Z , $|x|$ – модуль x , ω – угловая скорость вращения спиралей, $\theta \gg 1$. Действительно, при $t = 0$ это решение соответствует двум типам инверсных стенок, приведенных на рис.1.

Рассмотрим основные динамические характеристики описанных процессов в зависимости от величины приложенного напряжения. На рис.3а приведены

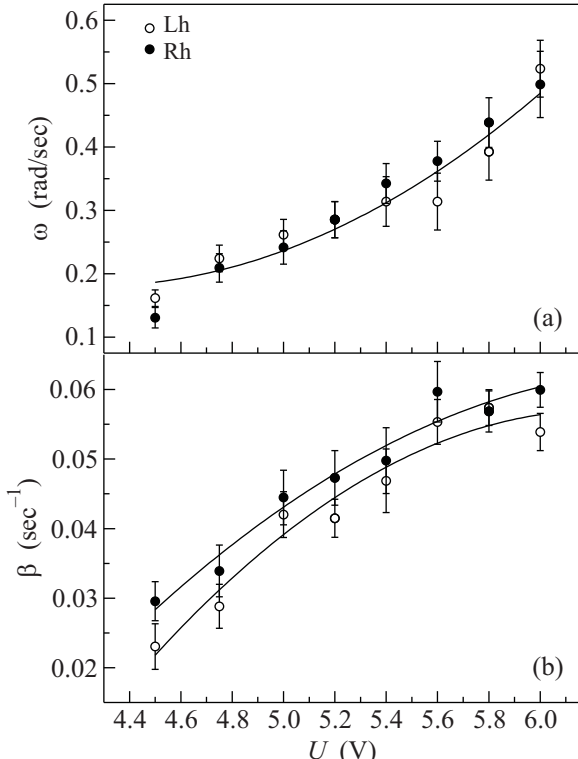


Рис.3. Зависимости угловой скорости вращения ω при закрутке спирали от π до 2π (а), угловой скорости сближения дефектов β на поверхности капли от приложенного напряжения U к слою НХЖК (б)

зависимости частот вращения левых и правых спиралей. В том и в другом случаях частоты вращения ω пропорциональны квадрату поля: $\omega \sim E^2$, что указывает на связь угловой скорости вращения с эффектом Фредерикса, благодаря которому моменты дестабилизации директора пропорциональны (E)². Важна зависимость скорости аннигиляции для (λ^+, λ^-) , (τ^+, τ^-) пар дефектов на поверхности сферы. При образовании обоих типов спиралей расстояние между дефектами $l = 2\pi\alpha R$, где $\alpha = \beta t$ – угол, изменяется линейно от времени, а угловая скорость сближения дефектов β аппроксимируется слабой корневой зависимостью от поля E (рис.3б). Заметим, что аннигиляция дефектов на сferах НХЖК описывается

законом типа $l \sim t$ отличается от аналогичных процессов, наблюдаемых на нематических сферах, а именно, $l \sim t^2$ [21]. Полное же время, определяющее период T цикла исходная \rightarrow исходная ситуация для обоих типов спиральных структур, зависимость которой приведена на рис.4, достаточно хорошо описывается законом $T \sim E^{-1}$.

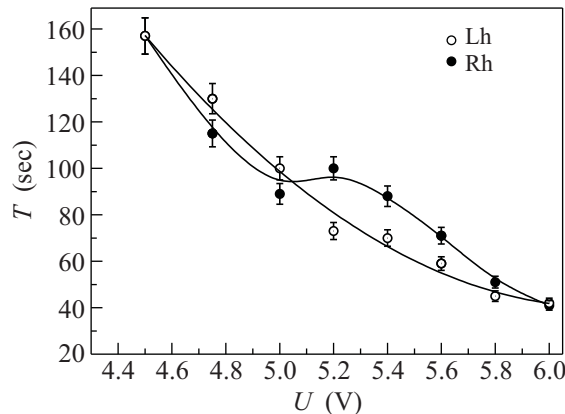


Рис.4. Зависимости времени полного периода T превращений от зарождения правых (●) и левых (○) спиральных структур до аннигиляции поверхностных дефектов и перехода в исходное состояние

Итак, в данной работе проиллюстрирована возможность преобразования энергии квазистатических электрических полей в периодическое механическое движение. Важно и другое следствие этой работы – это наблюдение нарушения принципов симметрии (принципа Юри-Неймана [22]): симметрия среды и воздействия не всегда определяет симметрию макроструктур и ее механических свойств. В данном случае симметрия спиральных структур $2/m$ не является подгруппой пересечения групп симметрии среды $\infty/2$ и электрического поля $m \cdot \infty/m$. Также следует отметить, что спиральные структуры хотя и имеют симметрию $2/m$, тем не менее, имеет место анизотропное распределение в ориентации вращающихся двузаходных спиралей относительно нормали слоя НХЖК. Кроме того, здесь подтверждается закон сохранения топологических зарядов s_i , и если обычно для капель $\sum s_i = 2$, то в случае однородной ориентации директора в слоях НХЖК всегда $\sum s_i = 0$.

Работа выполнена при поддержке Российского фонда фундаментальных исследований, грант # 08-02-97008.

1. М. В. Курик, О. Д. Лаврентович, Письма в ЖЭТФ **35**, 362 (1982).
2. Г. Е. Воловик, О. Д. Лаврентович, ЖЭТФ **85**, 1997 (1983).

3. М. В. Курик, О. Д. Лаврентович, УФН **154**, 381 (1988).
4. O. Lehmann, Ann. Phys. **2**, 649 (1900).
5. Ю. В. Вульф, Журнал московского общества изучения и распространения физических наук **1-2**, 1 (1915).
6. Patrick Oswald and Alain Dequidt, Phys. Rev. Lett. **100**, 217802 (2008).
7. F. Xu, H. S. Kitzerow, and P. P. Crooker, Phys. Rev. A **46**, 6535 (1992).
8. J. Bezić and S. Žumer, Liq. Crys. **11**, 593 (1992).
9. J. Bajc and S. Žumer, Phys. Rev. E **55**, 2925 (1997).
10. J. Bajc, J. Bezić, and S. Žumer, Phys. Rev. E **51**, 2176 (1995).
11. H.-S. Kitzerow and P. P. Crooker, Liq. Cryst. **13**, 31 (1993).
12. O. O. Prishchepa, A. V. Shabanov, and V. Ya. Zyryanov, Phys. Rev. E **72**, 031712 (2005).
13. Jugal K. Gupta, Jacob S. Zimmerman, Juan J. de Pablo et al., Langmuir **25**, 9016 (2009).
14. F. Xu and P. P. Crooker, Phys. Rev. E **56**, 6853 (1997).
15. К. Хуанг. *Кварки, лептоны и калибровочные поля*, М.: Мир, 1985; Хамермеш, *Теория групп и ее применение к физическим проблемам*, М.: Едиториал, 2002.
16. Michael J. Longo, astro-ph.CO, arXiv:0904.2529v1, 2009 [<http://arxiv.org/abs/0904.2529v1>].
17. П. Ж. де Жен, *Физика жидкых кристаллов*, М.: Мир, 1977 [P. G. de Gennes, *The Physics of Liquid Crystals*, Clarendon Press, Oxford, 1974].
18. В. А. Беляков, А. С. Сонин, *Оптика холестерических жидкых кристаллов*, М.: Наука, 1982.
19. F. M. Leslie, Proc. Roy. Soc. A **307**, 359 (1968).
20. С. Чандraseкар, *Жидкие кристаллы*, М.: Мир, 1980 [S. Chandrasekhar, *Liquid Crystals*, Cambridge University Press, Cambridge, 1977].
21. А. Н. Чувыров, А. П. Крехов, Н. Х. Гильманова, Ю. А. Лебедев, ЖЭТФ **89**, 2052 (1985).
22. П. Кюри, *Избранные труды*, М.-Л.: Наука, 1966; М. П. Шаскольская, *Кристаллография*, М.: Высшая школа, 1976.